

مجله‌ی علمی، پژوهشی دانشگاه علوم پزشکی زنجان  
دوره‌ی ۲۴، شماره‌ی ۱۰۶، آذر و دی ۱۳۹۵، صفحات ۷۹ تا ۸۹

## تأثیر گرلین بر نسبت بیان ژن Bax/Bcl-2 در بافت ریه موش‌های صحرایی نگهداری شده در شرایط هیپوکسی مزمن

محمد رضا علیرستی<sup>۱</sup>، مسعود دادخواه<sup>۲</sup>، دکتر محسن علیپور<sup>۳</sup>، شهره الماسی<sup>۱</sup>، دکتر هادی فیضی<sup>۳</sup>

**نویسنده‌ی مسؤول:** گروه فیزیولوژی، دانشکده‌ی پزشکی، دانشگاه علوم پزشکی زنجان، زنجان hfeizik@zums.ac.ir

دریافت: ۹۴/۶/۹ پذیرش: ۹۴/۱۰/۷

### چکیده

**زمینه و هدف:** گرلین اعمال شناخته شده متعددی دارد. یکی از نقش‌های جدید آن اثر ضد آپوپتوزی می‌باشد. اما این اثر گرلین در آپوپتوز احتمالی القا شده توسط هیپوکسی محیطی در بافت ریه موجود زنده بررسی نشده است. هدف از این مطالعه بررسی اثر تیمار با گرلین بر میزان نسبت 2-Bax/Bcl به عنوان شاخص رخداد آپوپتوز در بافت‌های ریه موش‌های صحرایی نگهداری شده در هیپوکسی مزمن می‌باشد.

**روش بررسی:** تعداد ۲۴ سر موش‌های صحرایی نر نژاد ویستار به سه گروه کنترل (C)، هیپوکسی (H) و هیپوکسی همراه با گرلین (H+G) تقسیم شدند. القای هیپوکسی در اطاقک حاوی اکسیژن ۱۱ درصد به مدت ۲ هفته صورت گرفت. در طول مطالعه گروه‌های درمان، تزریق روزانه زیرجلدی سالین و گرلین دریافت نمودند. نسبت بیان ژنی Real-Time PCR بتوسط Bax/Bcl-2 نسبت بیان ژنی ۲-Real-Time PCR توسط بافت‌شناسی در عروق ریه جدا شده با رنگ آمیزی هماتوکسیلین-ائوزین مورد بررسی قرار گرفت.

**یافته‌ها:** هیپوکسی مزمن سبب افزایش خیانت دیواره و کاهش قطر مجرای عروق ریوی گردید و درمان با گرلین این تغییرات را به شرایط نرمال برگرداند. نسبت بیان ژن 2-Bax/Bcl در در بافت‌های ریهی حیوانات هیپوکسیک در مقایسه با گروه کنترل تغییر معنی‌داری نشان نداد و در عین حال درمان با گرلین نیز نتوانست این نسبت را تغییر دهد.

**نتیجه‌گیری:** هیپوکسی مزمن، علی‌رغم تغییرات بافتی در عروق ریه‌الاما به آسیب سلولی منجر نمی‌شود. درمان با گرلین اگرچه تغییرات بافتی را بهبود می‌بخشد ولی تاثیری بر میزان کلی آسیب بافت ریه نداشت. به نظر می‌رسد مطالعات بیشتری به خصوص در سطح سلول‌های اندوتیال و عضله‌ی صاف عروق ضروری باشد.

**واژگان کلیدی:** گرلین، هیپوکسی مزمن، Bax/Bcl-2، ریه، موش‌های صحرایی

### مقدمه

تشعشعات ماوراء بنفس، داروهای ضد سرطان و عفونت‌های ویروسی نیز می‌توانند منجر به آپوپتوز و آسیب بافتی گردند (۱-۲). یکی از عوامل شناخته شده در القای آپوپتوز سلولی هیپوکسی است (۳). تاکنون در مسیرهای مولکولی منجر

مرگ برنامه‌ریزی شده یا آپوپتوز، یکی از فرآیندهای فیزیولوژیک است که بهویژه در طی تکامل جنین و تغییر و تحول بافت‌ها در طی حیات نقش مهمی ایفا می‌نماید (۴-۵). اما در عین حال عوامل پاتولوژیک مانند مواد شیمیایی،

۱- کارشناس ارشد ایمونولوژی، مرکز تحقیقات ایمنی‌شناسی، دانشگاه علوم پزشکی تبریز، تبریز

۲- دانشجوی کارشناسی ارشد فیزیولوژی، گروه فیزیولوژی، دانشکده‌ی پزشکی، دانشگاه علوم پزشکی زنجان، زنجان

۳- دکترای فیزیولوژی، گروه فیزیولوژی، دانشکده‌ی پزشکی، دانشگاه علوم پزشکی زنجان، زنجان

HPV (Hypoxic Pulmonary Vasoconstriction) را تخفیف و مانع از پرفشاری ریه و هیپرترووفی بطن راست می‌گردد (۲۶-۲۹). در خصوص پاتوژنیز پرفشاری ریه ناشی از HPV فرضیه‌های متعددی وجود دارد (۳۰)، اما گروهی از محققین معتقدند که هیپوکسی مزمن سبب می‌شود تا جمعیتی از سلول‌های اندوتیال عروق ریوی به آپوپتوز مقاوم شده و این امر موجب تکثیر پیشرونده این سلول‌ها در عروق مذکور و منجر به تنگی عروقی و عوارض بعدی گردد (۱۰-۱۲). این در حالیست که دسته‌ای از مطالعات نشان داده‌اند که یک عامل افزایش ضخامت شریان‌های ریوی در طی هیپوکسی، سرکوب آپوپتوز میتوکندریایی در سلول‌های عضله‌ی صاف شریان‌های ریوی و درنتیجه تکثیر مهار نشده آن‌هاست (۳۱-۳۲).

با توجه به فرضیه‌های ذکر شده و در تکمیل مطالعات گذشته، به‌منظور یافتن مکانیسم احتمالی دیگر در رابطه با تاثیر گرلین بر HPV، قصد داریم تاثیر هیپوکسی مزمن را بر میزان نسبت Bax/Bcl-2 در بافت ریه‌ی موش‌های صحرایی سنجیده و سپس تاثیر تیمار با گرلین را بر میزان نسبت Bax/Bcl-2 در سلول‌های بافت مذکور بررسی نماییم.

### روش بورسی

**حیوانات آزمایشگاهی:** در این تحقیق تجربی از موش‌های صحرایی سفید نر بالغ نژاد ویستان با وزن تقریبی ۲۰۰ تا ۲۵۰ گرم پرورش یافته در مرکز پرورش حیوانات دانشگاه علوم پزشکی تبریز استفاده شد. حیوانات به مدت ۲۴ ساعت قبل از شروع مطالعه، به‌منظور تطابق با محیط به آزمایشگاه منتقل شدند. درجه‌ی حرارت محل نگهداری حیوانات حدود  $22\pm 2$  درجه‌ی سانتی‌گراد تنظیم شد. ساعات روشنایی و تاریکی به صورت ۱۲ ساعت روشنایی و ۱۲ ساعت تاریکی تنظیم گردید. حیوانات در ۳ گروه کترول (C)، هیپوکسی مزمن همراه سالین ( $H+S$ ) و هیپوکسی مزمن به همراه گرلین ( $H+G$ )، و هر گروه شامل ۱۰ سر موش صحرایی بطور

به آپوپتوز، پروتئین‌های متعددی شناخته شده‌اند که البته برخی از آن‌ها پیش برنده و برخی بازدارنده‌ی آپوپتوز محسوب می‌شوند (۵). در این میان یکی از ایندکس‌های شناخته شده، نسبت Bax/Bcl-2 می‌باشد که افزایش این نسبت سلول را به سمت آپوپتوز سوق می‌دهد (۶). شایان ذکر است که افزایش پروتئین Bax به شروع آپوپتوز و افزایش پروتئین Bcl-2 به جلوگیری از آن کمک می‌نماید (۷). مطالعات متعددی نشان داده که هیپوکسی می‌تواند در یکی از مسیرهای خود، با افزایش نسبت Bax/Bcl-2 منجر به مرگ سلولی گردد (۸-۱۰). هیپوکسی محیطی یکی از عواملی است که می‌تواند منجر به آپوپتوز در سلول‌ها از جمله بافت ریه گردد (۹-۱۳). گرلین هورمون پیتیدی حاوی ۲۸ اسید آمینه است که این هورمون از نواحی فوندوس معده و عمدتاً توسط سلول‌های انتروکرومافین مخاط اکسیتیک ترشح می‌شود، ولی گیرنده‌های آن در بافت‌های مختلف بدن از جمله قلب، ریه، کبد، کلیه‌ها، معده، روده و بافت چربی وجود دارد (۱۴). تاکنون مطالعات زیادی برای شناسایی نقش‌های فیزیولوژیک گرلین صورت گرفته و به نظر می‌رسد با توجه به گستردگی گیرنده‌های آن در ارگان‌های مختلف می‌توان اثرات متفاوتی را از این پیتید انتظار داشت (۱۵-۱۶). یکی از نقش‌هایی که اخیراً به آن نسبت داده می‌شود، اثرات ضدآپوپتوز این پیتید می‌باشد (۱۷-۱۹). همچنین در مطالعه‌ای توسط هوانگ و همکاران، مشخص شد که گرلین نسبت Bcl-2/Bax را افزایش و از این طریق آپوپتوز را کاهش می‌دهد (۲۰). در مطالعات گذشته به خوبی نشان داده شده که تیمار با گرلین می‌تواند مانع از مرگ سلولی در بافت‌هایی چون قلب و کلیه گردد، هر چند که آپوپتوز در این مطالعات ناشی از هیپوکسی نبوده است (۲۱-۲۵). در ارتباط با نقش حمایتی گرلین در آسیب عروقی ریه طی هیپوکسی مطالعات گستره‌های شکل گرفته و در آن‌ها نشان داده شده که تیمار با گرلین از طریق مکانیسم‌های مختلف

Total RNA اندازه‌گیری شد. برای این کار RNA به نسبت ۱/۱۰۰ با آب مقطر رقیق شده و در طول موج‌های ۲۶۰، ۲۸۰ و ۳۲۰ نانو متر میزان جذب آن اندازه‌گیری شد. برای تهییه cDNA، ۵ میکروگرم از RNA تام با استفاده از (Revert AidTM First Strand cDNA Kit، Fermentas) کیت استاندارد Rotor- Gene 6000 (Corbett, Australia) دستگاه تکثیر شدند. مرحله‌ی دناچوراسیون یک سیکل ۱۰ دقیقه‌ای در دمای ۹۵ درجه‌ی سانتی‌گراد بود و مرحله‌ی آمپلیفیکاسیون ۱۵ ثانیه در دمای ۹۵ درجه‌ی سانتی‌گراد، ۳۰ ثانیه در دمای ۵۷ درجه‌ی سانتی‌گراد و ۶۰ ثانیه در دمای ۴۰ درجه‌ی سانتی‌گراد در ۴۰ سیکل انجام شد. مقادیر  $\Delta\Delta Ct$ ,  $\Delta Ct$  و (RQ) با استفاده از نرم‌افزار Excel و Ct حاصله از مرحله‌ی قبل محاسبه گردید و با استفاده از نرم‌افزار Opticon monitor ۳ تحلیل قرار گرفتند. توالی پرایمرهای اسفاده شده در جدول ۱ آورده شده است.

تصادفی تقسیم گردیدند. موش‌های نگهداری شده در هیپوکسی که در مطالعه بافت شناسی تغییر ساختاری عروق ریوی آن‌ها محرز می‌شد برای انجام آزمایش PCR انتخاب می‌گردیدند که در نهایت نتایج اخذ شده از ۸ سر موش گزارش گردید.

**روش القای هیپوکسی:** جهت ایجاد شرایط هیپوکسیک، حیوانات در دستگاه هیپوکسی محیطی ساخت کمپانی استرالیا قرار داده شده و روزانه، به جریان ۳۰ دقیقه برای تمیز کردن قفس‌ها و دادن آب و غذا و تزریقات، در محیط دارای اکسیژن ۱۱ درصد نگهداری شدند (۲۸ و ۲۹).

**تیمار با گرلین:** گرلین تهیه شده از شرکت توکریس انگلستان در گروه H+G، به صورت زیر جلدی و با دوز ۱۵۰ میکروگرم بر کیلوگرم روزانه به مدت ۱۴ روز تزریق گردید (۲۹ و ۲۸). از آنجایی که سالین به عنوان حلال مورد استفاده قرار گرفت، حیوانات گروه H+S روزانه تزریق زیرجلدی سالین دریافت نمودند.

**استخراج RNA، ستز cDNA و انجام PCR:** بعد از دو هفته نگهداری حیوانات در شرایط هیپوکسی، بافت ریه‌ی آن‌ها با روش جراحی استریل خارج شده و RNA total از TRIzol (Invitrogen) با استفاده از روش مطابق با دستور العمل شرکت سازنده استخراج گردید. سپس با استفاده از دستگاه Biofotometer (eppendorf) میزان

جدول ۱: توالی نوکلئوتیدی پرایمرهای مورد استفاده در مطالعه

Gene	Forward Primer	Reverse Primer	Product Size [bp]
Bax	GACACCTGAGCTGACCTTGG	GAGGAAGTCCAGTGTCCAGC	۳۱۰
Bcl-2	ATCGCTCTGTGGATGACTGAGTAC	AGAGACAGCCAGGAGAAATCAAAC	۱۳۴
$\beta$ -actin	TCCTCCTGAGCGCAAGTACTCT	GCTCAGTAACAGTCCGCCTAGAA	۱۵۳

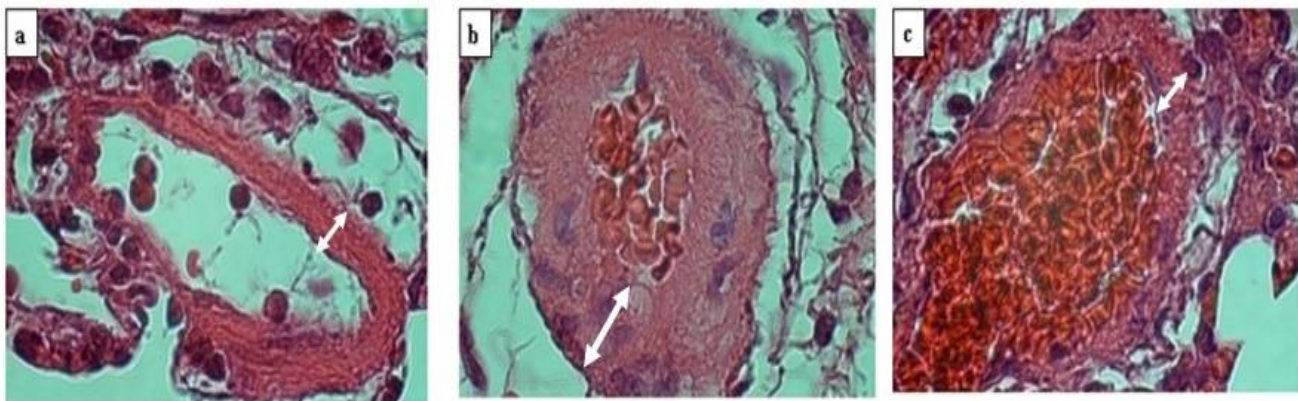
بررسی بافت شناسی: GraphPad (Prism) مورد تجزیه و تحلیل قرار گرفت. مقادیر  $p$  value کمتر از  $0.05$  به عنوان شاخص معنی‌داری در نظر گرفته شده است.

### یافته‌ها

**تغییرات بافت‌شناسی:** همان‌گونه که در شکل ۱ نشان داده شده است، بررسی برش‌های ریهی حیوانات در گروه‌های مورد آزمون و کنترل پس از رنگ آمیزی با هماتوکسیلین و ائوزین نشان می‌دهد که در گروه H+S میزان ضخامت دیواره‌ی رگ نسبت به گروه کنترل افزایش یافته و در عوض میزان قطر مجرای رگ مورد نظر کاهش نشان می‌دهد. تیمار با گرلین سبب شد تا ضخامت افزایش یافته دیواره‌ی عروق ریوی حیوانات هیپوکسیک نظیر گروه کنترل گردد.

بررسی بافت شناسی: لوب میانی ریهی راست حیوانات در محلول فرمالین جهت فیکس شدن قرار داده شد. پس از خارج کردن از فرمالین، بافت‌ها آب‌گیری و قالب گیری شده و سپس از آن‌ها برش گیری صورت گرفت. برش‌های تهیه شده از بافت‌ها طبق روش استاندارد با هماتوکسیلین و ائوزین رنگ آمیزی شدند.

**روش‌های آماری:** توزیع نرمال داده‌ها با نرم‌افزار Stata version 11 (qnorm) و برنامه ارزیابی شد و متغیرهایی که توزیع نرمال داشتند با میانگین و انحراف از معیار گراش شدند. تفاوت بین گروه‌ها با استفاده از آزمون One-Way ANOVA مورد بررسی قرار گرفت و مقایسه‌ی سطح بیان ژن گروه‌های هیپوکسی یا هیپوکسی با گرلین و Independent-Samples T Test گروه کنترل با آزمون گروه Independent-Samples T Test انجام شد. نتایج با استفاده از نرم‌افزار SPSS ۱۵ انجام شد.

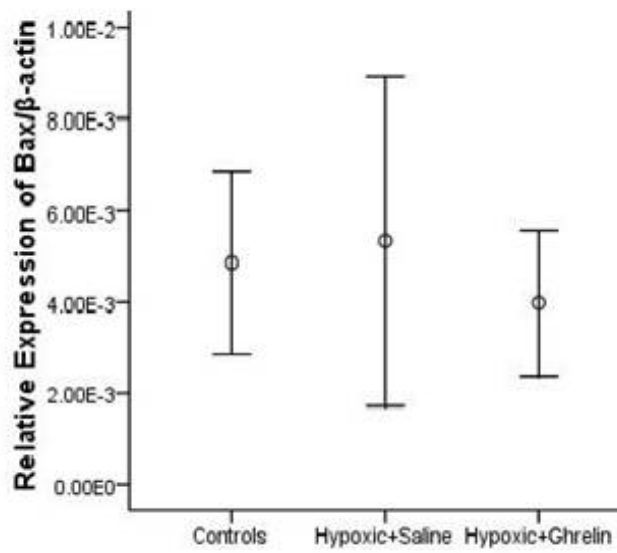


شکل ۱: فتو میکروگراف‌ها، عروق ریوی را در حیوانات گروه کنترل (a)، هیپوکسی همراه با سالین (b) و هیپوکسی همراه با گرلین (c)، با بزرگنمایی  $100\times$  نشان می‌دهند. ضخامت دیواره‌ی عروق در تصویر توسط پیکان‌ها مقایسه شده است.

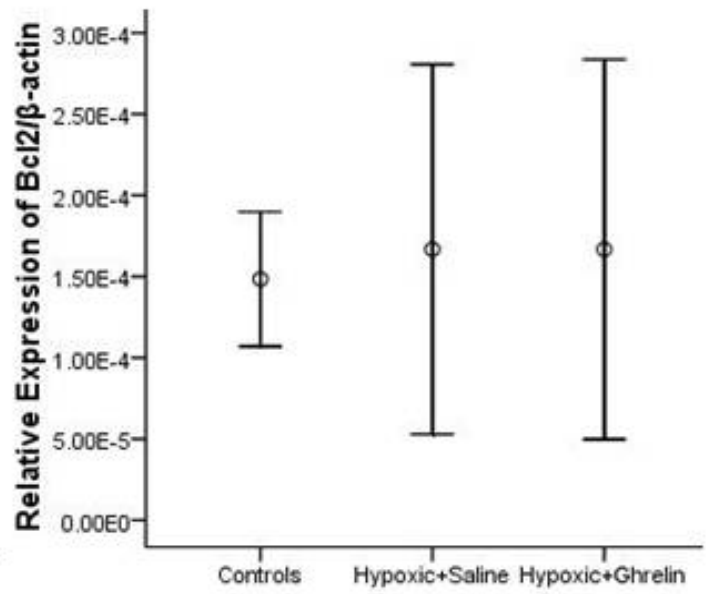
این بافت‌ها، تغییر معنی‌داری در مقایسه با حیوانات گروه کنترل نشان نداد ( $P=0.725$ ) (نمودار ۲). هیپوکسی سبب تغییر در نسبت بیان ژن  $Bax/Bcl-2$  در بافت ریه در مقایسه با رت‌های گروه کنترل نگردید (نمودار ۳).

تأثیر هیپوکسی بر میزان بیان ژن‌های **Bax** و **Bcl-2** و نیز نسبت بیان ژنی **Bax/Bcl-2** در بافت‌های ریه میزان بیان **Bax** در بافت ریه حیوانات هیپوکسیک، تغییر معنی‌داری در مقایسه با حیوانات گروه کنترل نداشت ( $P=0.801$ ). از طرفی میزان **Bcl-2** نیز در

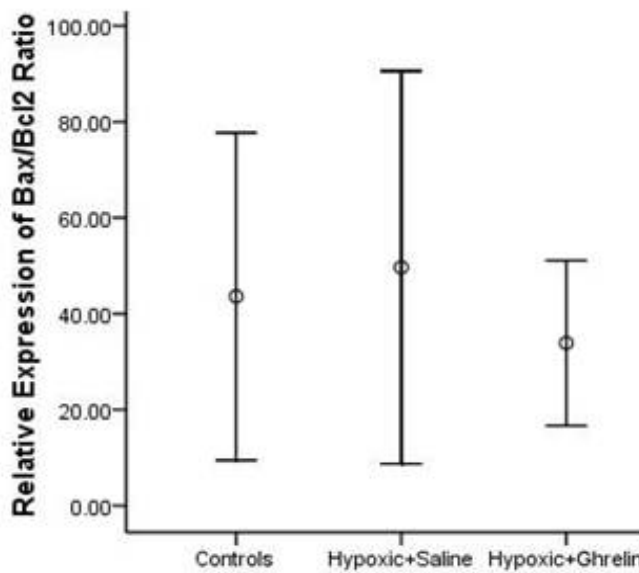
Takemoto



نمودار ۱: میانگین ± انحراف از معیار میزان بیان ژن *Bax* در بافت ریه حیوانات گروه کنترل، هیپوکسیک+سالین و هیپوکسیک+گرلین.



نمودار ۲: میانگین ± انحراف از معیار میزان بیان ژن *Bcl2* در بافت ریه حیوانات گروه کنترل، هیپوکسیک+سالین و هیپوکسیک+گرلین.



نمودار ۳: میانگین ± انحراف از معیار میزان نسبت بیان ژنی *Bax/Bcl2* در بافت ریه حیوانات گروه کنترل، هیپوکسیک+سالین و هیپوکسیک+گرلین

مهم HPV صورت پذیرفته است. در مطالعاتی توسط هرنیکوییس و همکارانش نشان داده شد که تزریق زیر جلدی گرلین در موش‌های صحرایی مبتلا به هیپرتانسیون ریوی مدل Monocrotaline سبب کاهش هیپرتانسیون ریوی، کاهش هیپرترفی بطن راست و کاهش ضخامت دیواره‌ی عروق ریوی می‌گردد (۲۶ و ۲۷). در سال ۲۰۰۸ در ادامه‌ی پژوهش‌های ذکر شده، شوانکه و همکارانش در یک تحقیق با الای هیپرتانسیون ریوی اما این بار با نگهداری موش‌های صحرایی در شرایط هیپوکسیک (اکسیژن ۱۰ درصد)، نشان دادند گرلین با تخفیف عوارض هیپوکسی در عروق ریوی موجب کاهش هیپرتانسیون ریوی، کاهش هیپرترفی بطن راست و کاهش ضخامت دیواره‌ی عروق ریوی می‌شود. در این بررسی نشان داده شد که گرلین احتمالاً از طریق کاهش بیان ژن اندولتین-۱ و نیز تنظیم بیان ژن نیتریک اکساید سنتاز اثرات بهبود دهنده‌ی خود را اعمال می‌نماید (۲۸). ما در

تأثیر گرلین بر میزان بیان ژن‌های **Bax** و **Bcl-2** و نیز نسبت بیان ژنی **Bax/Bcl-2** در بافت‌های ریه: درمان با گرلین تاثیر معنی‌داری بر بیان ژن **Bax** در بافت ریهی حیوانات هیپوکسیک بر جای نگذاشت ( $P=0.431$ ). همچنین گرلین تاثیر معنی‌دار آماری بر بیان ژن **Bcl-2** در بافت ریهی حیوانات هیپوکسیک نداشت ( $P=0.999$ ) (نمودار ۲). به این ترتیب گرلین نتوانست نسبت بیان ژن **Bax/Bcl-2** را تغییر دهد (نمودار ۳).

### بحث

بر اساس یافته‌های مطالعه حاضر، زندگی در شرایط هیپوکسی مزمن منجر به افزایش ضخامت دیواره و تنگی مجاری شریان‌های ریوی شد. از طرف دیگر، تیمار با گرلین سبب برگشت این تغییرات به حالت نرمال می‌شود. مطالعات متعددی در مورد اثرات بهبود بخش گرلین بر عوارض جانبی

پیشرفت گلیکولیز می‌تواند دلیل این اثر گرلین باشد (۳۴). از طرف دیگر، در تحقیقی دیگر نشان دادیم که در بافت کلیه رت‌هایی که زندگی در شرایط هیپوکسی مزمن را تجربه کردند، گرلین نسبت Bax/Bcl-2 را کاهش داده و تا حدودی یک اثر ضد آپوپتوزی را سبب می‌شود (۳۵). این که گرلین با چه مکانیسمی میزان Bax/Bcl-2 را تنظیم می‌کند دقیقاً معلوم نیست ولیکن مطالعاتی نشان داده‌اند که این پیتید از طریق مسیر PI3-kinase/Akt این اثر را اعمال می‌کند (۲۲ و ۳۶). به طور کلی شاید بتوان گفت که گرلین در بافت‌های مختلف متاثر از هیپوکسی، میزان بروز آپوپتوز را به گونه‌ای متفاوت تغییر می‌دهد.

### نتیجه‌گیری

هیپوکسی محیطی سبب تغییر معنی‌دار در نسبت Bax/Bcl-2 در بافت ریه نشده و گرلین نیز تاثیر چندانی بر این نسبت نشان نداد. به نظر می‌رسد که نتایج حاصل می‌تواند به طول دوره، شدت هیپوکسی، مقدار دوز گرلین تجویز شده و ارگان خاص بررسی شده نیز بستگی داشته باشد. از این رو به مطالعات تکمیلی جهت اثبات نقش درمانی بالقوه‌ی گرلین در مقابله با آسیب عروقی ناشی از هیپوکسی در بافت ریه نیاز باشد.

### تشکر و قدردانی

نویسنده‌گان بر خود لازم می‌دانند از همکاری صمیمانه آقای دکتر محمد رضا علیپور، عضو هیئت علمی گروه فیزیولوژی دانشگاه علوم پزشکی تبریز، سپاسگزاری نمایند.

### References

- Ucker DS. Death by suicide: one way to go in mammalian cellular

مطالعات گذشته این اثر بهبود دهنده‌گی گرلین را تا حدودی به کم کردن فعالیت پروتئین کیناز C که نقش شناخته شده‌ای در وساطت رشد سلول‌های عضله‌ی صاف عروق ریه‌ی هیپوکسیک دارد، نسبت داده‌ایم (۲۹).

پس از ۲ هفته زندگی در شرایط هیپوکسی، نسبت Bax/Bcl-2 در بافت ریه افزایش معنی‌داری در مقایسه با گروه کنترل نداشت. این نتیجه مشابه یافته‌ی وو و همکارانش می‌باشد (۱۳). اگرچه در این مطالعه مقدار نسبت مذکور در RNA کل بافت ریه سنجیده شده و اطلاعی از توزیع بیان ژن‌های اندازه‌گیری شده در قسمت‌های مختلف بافت ریه از جمله پارانشیم، سلول‌های آلوئولار، اندوتالیوم و عضله‌ی صاف عروق نداشتم، ولی به نظر می‌رسد یافته‌ی ما می‌تواند تا حدودی موید نظریه‌های ارایه شده در بخش مقدمه باشد، مبنی بر اینکه در هیپوکسی مزمن احتمالاً گروهی از سلول‌های جداره عروق به آپوپتوز مقاوم شده و درنتیجه تکثیر سلول‌های اندوتالیوم/عضله‌ی صاف عروق موجب تنگی مجرماً می‌گردد. از طرف دیگر، تیمار با گرلین در دوز ۱۵۰ میکروگرم بر کیلوگرم نیز تاثیر چندانی بر نسبت Bax/Bcl-2 بر جای نگذاشت و به نظر می‌رسد که گرلین تغییرات ایجاد شده در ساختمان عروق ریه‌ی هیپوکسیک را از طریق تنظیم عواملی غیر از آپوپتوز برگردانده است. لازم به ذکر است که ما در مطالعات گذشته نشان داده‌ایم که گرلین نسبت Bax/Bcl-2 را در بافت قلب حیوانات هیپوکسیک افزایش می‌دهد (۳۳). در عین حال در تحقیقی دیگر مشاهده گردید که گرلین سبب افزایش بیان ژن‌های آنزیم‌های گلیکولیز می‌شود و افزایش احتمالی تولید اسید ناشی از

- development? *New Biol.* 1991; 3: 103-9.
- Walker NI, Harmon BV, Gobe GC, Kerr JFR. Patterns of cell death. *Methods*

- Achiev Exp Pathol. 1988; 13: 18-54.
- 3- Wyllie AH, Kerr JFR, Currie AR. Cell death: the significance of apoptosis. *Int Rev Cytol*. 1980; 68: 251-306.
- 4- Weinmann M, Jendrossek V, Handrick R, Güner D, Goecke B, Belka C. Molecular ordering of hypoxia-induced apoptosis: critical involvement of the mitochondrial death pathway in a FADD/caspase-8 independent manner. *Oncogene*. 2004; 23: 3757-69.
- 5- Elmore S. Apoptosis: a review of programmed cell death. *Toxicol Pathol*. 2007; 35: 495-516.
- 6- Jacobson MD, Raff MC. Programmed cell death and Bcl-2 protection in very low oxygen. *Nature*. 1995; 374: 814-6.
- 7- Salakou S, Kardamakis D, Tsamandas AC, et al. Increased Bax/Bcl-2 ratio up-regulates caspase-3 and increases apoptosis in the thymus of patients with myasthenia gravis. *In Vivo*. 2007; 21: 123-32.
- 8- Nishikawa S, Tatsumi T, Shiraishi J, et al. Nicorandil regulates Bcl-2 family proteins and protects cardiac myocytes against hypoxia-induced apoptosis. *J Mol Cell Cardiol*. 2006; 40: 510-9.
- 9- Jung F, Weiland U, Johns RA, Ihling C, Dimmeler S. Chronic hypoxia induces apoptosis in cardiac myocytes: a possible role for Bcl-2-like proteins. *Biochem Biophys Res Commun*. 2001; 286: 419-25.
- 10- Taraseviciene-Stewart L, Kasahara Y, Alger L, Hirth P, et al. Inhibition of the VEGF receptor 2 combined with chronic hypoxia causes cell death-dependent pulmonary endothelial cell proliferation and severe pulmonary hypertension. *Faseb J*. 2011; 15: 427-38.
- 11- Weng T, Karmouty-Quintana H, Garcia-Morales L, et al. Hypoxia-induced deoxycytidine kinase expression contributes to apoptosis in chronic lung disease. *FASEB J*. 2013; 27: 2013-26.
- 12- Lu JY, Yao W, Qian GS, Yang XJ, Chen WZ, Li SP. Role of bcl-2 and bax expression in apoptosis of hypoxic pulmonary artery smooth muscle cells of rats induced by Na+/H+ exchanger isoform-1 inhibition in vitro. *Zhongguo Wei Zhong Bing Ji Jiu Yi Xue*. 2004; 16: 394-8.
- 13- Wu ZS, Hall SM, Haworth SG. Proliferation and apoptosis of lung smooth muscular cells in hypoxic pulmonary hypertension in neonatal pigs. *Hunan Yi Ke Da Xue Xue Bao*. 2002; 27: 211-4.
- 14- Kojima M, Kangava K. Ghrelin: Structure and Function. *Physiol Rev* 2005; 85: 495-522.
- 15- Holst B, Holliday N, Bach A, et al. Common structural basis for constitutive activity of the ghrelin receptor family. *J Biol Chem*. 2004; 279: 53806-817.
- 16- Van der Lely AJ, Tschop M, Heiman ML, Ghigo E. Biological, physiological, pathophysiological, pharmacological aspects of Ghrelin. *Endocrine Rev*. 2004; 25: 426-57.
- 17- Yang M, Hu S, Wu B, Miao Y, Pan H, Zhu S. Ghrelin inhibits apoptosis signal-regulating kinase 1 activity via upregulating heat-shock protein 70. *Biochem Biophys Res Commun*. 2007; 359: 373-8.

- 18- Zhang Y, Ying B, Shi L, et al. Ghrelin inhibit cell apoptosis in pancreatic beta cell line HIT-T15 via mitogen-activated protein kinase/phosphoinositide 3-kinase pathways. *Toxicology*. 2007; 237: 194-202.
- 19- Granado M, Chowen JA, García-Cáceres C, et al. Ghrelin treatment protects lactotrophs from apoptosis in the pituitary of diabetic rats. *Mol Cell Endocrinol*. 2009; 309: 67-75.
- 20- Hwang S, Moon M, Kim S, Hwang L, Ahn KJ, Park S. Neuroprotective effect of ghrelin is associated with decreased expression of prostate apoptosis response-4. *Endocr J*. 2009; 56: 609-17.
- 21- Yang C, Wang Y, Liu H, et al. Ghrelin protects H9c2 cardiomyocytes from angiotensin II-induced apoptosis through the endoplasmic reticulum stress pathway. *J Cardiovasc Pharmacol*. 2012; 59: 465-71.
- 22- Baldanzi G, Filigheddu N, Cutrupi S, et al. Ghrelin and des-acyl ghrelin inhibit cell death in cardiomyocytes and endothelial cells through ERK1/2 and PI 3-kinase/AKT. *J Cell Biol*. 2002; 159: 1029-37.
- 23- Zhang GG, Cai HQ, Li YH, et al. Ghrelin protects heart against ERS-induced injury and apoptosis by activating AMP-activated protein kinase. *Peptides*. 2013; 48: 156-65.
- 24- Xu YP, Zhu JJ, Cheng F, et al. Ghrelin ameliorates hypoxia-induced pulmonary hypertension via phospho-GSK3  $\beta/\beta$ -catenin signaling in neonatal rats. *J Mol Endocrinol*. 2011; 47: 33-43.
- 25- Cheung W, Mak R H. Ghrelin in chronic kidney disease. *Int J Peptides*.
- 26- Henriques-Coelho T, Correia-Pinto J, Roncon-Albuquerque R, et al. Endogenous production of ghrelin and beneficial effects of its exogenous administration in monocrotaline-induced pulmonary hypertension. *Am J Physiol Heart Circ Physiol*. 2004; 287: 2885-90.
- 27- Henriques Coelho T, Roncon-Albuquerque Júnior R, Lourenço AP, et al. Ghrelin reverses molecular, structural and hemodynamic alterations of the right ventricle in pulmonary hypertension. *Rev Port Cardiol*. 2006; 1: 55-63.
- 28- Schwenke DO, Tokudome T, Shirai M, Hosoda H, Horio T, Kishimoto I. Exogenous ghrelin attenuates the progression of chronic hypoxia-induced pulmonary hypertension in conscious rats. *Endocrinology*. 2008; 149: 237-44.
- 29- Alipour MR, Aliparasti MR, Keyhanmanesh R, et al. Effect of Ghrelin on PKC- $\epsilon$  and PKC- $\delta$  gene expression in the pulmonary arterial smooth muscles of chronic hypoxic rats. *J Endocrinol Invest*. 2011; 34: e369-e373.
- 30- Humbert M, Morrell NW, Archer SL, et al. Cellular and molecular pathobiology of pulmonary arterial hypertension. *J Am Coll Cardiol*. 2004; 43: 13S-24S.
- 31- McMurtry MS, Bonnet S, Wu X, et al. Dichloroacetate prevents and reverses pulmonary hypertension by inducing pulmonary artery smooth muscle cell apoptosis. *Circ Res*. 2004; 95: 830-40.

- 32- Huang X, Zou L, Yu X, et al. Salidroside attenuates chronic hypoxia-induced pulmonary hypertension via adenosine A<sub>2a</sub> receptor related mitochondria-dependent apoptosis pathway. *J Mol Cell Cardiol.* 2015; 82: 153-66.
- 33- Aliparasti MR, Alipour MR, Almasi S, Feizi H. Ghrelin administration increases the bax/bcl-2 gene expression ratio in the heart of chronic hypoxic rats. *Adv Pharm Bull.* 2015; 5: 195-99.
- 34- Aliparasti MR, Alipour MR, Almasi S, Feizi H. Effect of ghrelin on aldolase gene expression in the heart of chronic hypoxic rat. *Int J Endocrinol Metab.* 2012; 10: 553-7.
- 35- Almasi S, Shahsavandi B, Aliparasti MR, Alipour MR, Rahnama B, Feizi H. The anti-apoptotic effect of ghrelin in the renal tissue of chronic hypoxic rats. *Physiol Pharmacol.* 2015; 19: 114-20.
- 36- Yang D, Liu Z, Zhang H, Luo Q. Ghrelin protects human pulmonary artery endothelial cells against hypoxia-induced injury via PI3-kinase/Akt. *Peptides.* 2013; 42: 112-7.

## Effect of Ghrelin on Bax/Bcl-2 Gene Expression Ratio in Lung Tissue of Rats with Chronic Hypoxia

Aliparasti MR<sup>1</sup>, Dadkhah M<sup>2</sup>, Alipour M<sup>2</sup>, Almasi SH<sup>1</sup>, Feizi H<sup>2</sup>

<sup>1</sup>Immunology Research Center, Tabriz University of Medical Sciences, Tabriz, Iran

<sup>2</sup>Dept. of Physiology, Faculty of Medicine, Zanjan University of Medical Sciences, Zanjan, Iran

**Corresponding Author:** Feizi H, Dept. of Physiology, Faculty of Medicine, Zanjan University of Medical Sciences, Zanjan, Iran

**E-mail:** hfeizik@zums.ac.ir

**Received:** 31 Aug 2015    **Accepted:** 28 Dec 2015

**Background and Objective:** Ghrelin has different functions in the body and one of its newly known roles is the antiapoptotic effect. However, this effect of ghrelin has not been considered in the probable hypoxia induced apoptosis in the animal lung tissue. The aim of this study was to examine the effect of ghrelin treatment on Bax/Bcl-2 gene expression in the lung tissue of rats with chronic hypoxia.

**Materials and Methods:** Twenty four male Wistar rats were divided in three experimental groups of normal, hypoxic+saline and hypoxic+ghrelin and were treated for 2 weeks. The expression level of Bax and Bcl-2 genes were assessed using Real-Time PCR in isolated lung tissues of all animals. In addition, histological changes of pulmonary arteries were examined following Hematoxylin-Eosin staining of the isolated tissues.

**Results:** Chronic hypoxia caused pulmonary artery wall thickness and treatment with ghrelin reversed the changes to the normal. Keeping animals under chronic hypoxia treated or not with ghrelin had no significant effect on Bax/Bcl-2 gene expression ratio as measured in the total lung.

**Conclusion:** Ghrelin treatment restores the histological changes induced by chronic hypoxia in rats. However, no significant changes in Bax/Bcl-2 gene expression ratio as a marker of cell apoptosis seem to occur in the isolated lung tissues, even after ghrelin treatment. Further similar studies especially in vascular endothelial and smooth muscle cells are recommended.

**Keywords:** Ghrelin, Chronic Hypoxia, Lung, Bax/Bcl-2, Rat